

愛媛大学工学部 正員 伊福 誠  
 愛媛大学工学部 正員 植沼忠男  
 愛媛大学工学部 学生員 井内国光

## 1. まえがき

これより、我々は、海を物資運搬の経路および生産の場として利用してきた。しかし、近年は、工業生産の増大とともに、広大な空間の開拓が計画され、とくに沿岸領域の重要性が増大し、こうした領域へ海岸構造物を築造して、その付加的価値を高めようとしている。また、わが國の 31000 km<sup>2</sup>にもおよぶ海岸線は、つねに波浪および高潮といった災害にさらされ、海岸の侵食が進んでいたのが現状である。海岸侵食を防止・軽減するためには、海岸波浪の特性および波浪による底質の堆積・輸送の現象を十分に把握することが必要となる。これより、波浪による流れに関する研究は、数多くなされてきたが、現地観測に基づく基礎的資料は、極めて少ない。こうしたことから、この研究は、現地観測に基づいて、浅海域の波浪による流れについての基礎的資料を得ようとしたものである。

解析した流速資料は、図-1 に示す岸側の平均水深 6.5 m に設置した電磁誘導型流速計によつており、昭和 55 年 1 月 21 日 14 時～31 日 14 時のものである。この海域の平均海底勾配は、1/100 である。

## 2. 解析結果

流速は、図-2 に示すように、水平成分および鉛直成分を、とれども、岸向きおよび海底から海面を正とし、水平成分は、卓越波向 WNW と平行となるように流速計を設置した。

図-3 (a), (b) は、同時刻の水平および鉛直成分の頻度分布を示したもので、図中の破線は、4 次の項まで計算した、Gram-Charlier 分布である。(a) は、水平成分のものである。この図をみると観測値は、平均近傍近く Gram-Charlier 分布よりも小さく、正の裾は小さく、負の裾は大きくなることがわかる。(b) は、鉛直成分のもので、解析した中で、skewness が一番小さいものについてである。この図をみると、平均値附近で、僅かに観測値が小さくなっていることを除けば、Gram-Charlier 分布と良く似た傾向をしてることがわかる。鉛直成分が水平成分よりも Gram-Charlier 分布に良く似ているようである。

図-4 (a), (b) は、流速のパワースペクトルを示したものである。図中には、実線および破線で、とれども、水平および鉛直成分を示している。これらの図をみると、水平および鉛直成分の peak 周波数は、0.16 Hz である。peak 周波数より高周波側では、周波数のほぼ -6 来と比例していることがわかる。

図-5 (a), (b) は、海底から 0.85 m の位置で得た水粒子の速

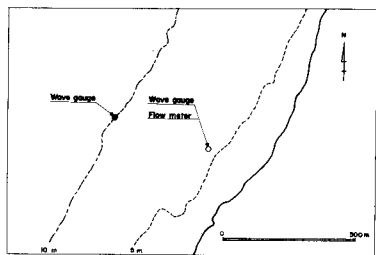


図-1 観測点

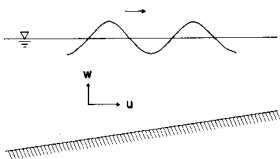
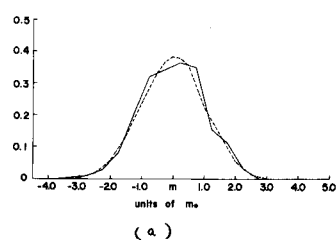


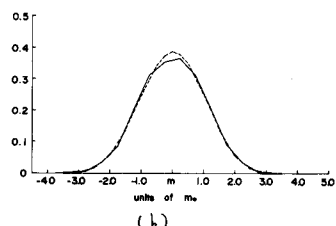
図-2 座標系

Data No. m/sec Skew Kur  
 EMF-8001215 U 23.81 -0.133 2.688  
 Gram-Charlier



(a)

Data No. m/sec Skew Kur  
 EMF-8001215 W 6.10 -0.051 2.712  
 Gram-Charlier



(b)

図-3(a), (b) 頻度分布

度変化を 1 周期ごとに示したものである。U<sub>r</sub> および W<sub>r</sub> は、それ故に、1 周期ごとの水平成分および鉛直成分の残留速度を示したものである。(a) は、1 月 30 日 20 時 20 分の高潮時にあけたものである。この図をみると、水平成分および鉛直成分は、いずれも、岸から沖合および海面から海底へ向けての流れが強く、反時計方向に回っており、ほぼ、45°/100 の勾配をもつことがわかる。水平成分および鉛直成分の残留速度とも、すべて負の値であり、水平成分の残留速度は、鉛直成分のそれの約 2~3 倍であることがわかる。

(b) は、(a) から約 11 時間後の 31 日 8 時 50 分の高潮時のものである。この図をみると、(a) と似た傾向を示し、水平および鉛直成分の残留速度とも負の値であることがわかる。すなわち、岸から沖合および海面から海底へ向けての流れがあることがわかる。(a) と比較すると、水平および鉛直成分ともかなり小さくなっている。3 周期あたり 4 周期目を除くとすべて時計回りであり、ほぼ、30°/100 の勾配をもつことがわかる。1 周期ごとにみると、鉛直成分は、3 周期から 6 周期まで、すべて負の値であり、水平成分の残留速度は、鉛直成分のそれの約 2~3 倍であるが、その割合は、(a) より、僅かではあるが大きめであることがわかる。

水平成分および鉛直成分の残留速度とも、すべて負の値を示しているが、これは、底り流れなどがあるためにではないと思われる。

図-6 (a), (b) は、水平成分と鉛直成分のパワースペクトル、coherency および phase を示したものである。(a) をみると、水平および鉛直成分のパワースペクトルの peak 周波数は 0.2 Hz であり、水平成分と鉛直成分の coherency は、パワースペクトルの peak 周波数付近でかなり高く、0.08~0.32 Hz の周波数帯では、0.8 以上の値を示す。phase は、0.4 Hz 付近までは、周波数が大きくなるにつれて増大し、0.4 Hz より高周波では、かなり衰弱してしまふ。パワースペクトルのピーク周波数での phase は約 40° である。(b) をみると、水平および鉛直成分のパワースペクトルのピーク周波数は、0.2 Hz で、coherency は 0~0.31 Hz の周波数帯で 0.8 以上の値を示し、不規則性変化をしながら、周波数が大きくなるにつれて、小さくなっている。phase は、すべての周波数で負の値を示し、0.34 Hz 付近までは -13° より小さく 0.54 Hz 付近で、-90° となる傾向を示すことがわかる。微小振幅波理論によると、波浪による水平および鉛直成分の位相差は 90° であるとされていて、解析した資料については、こうした結果を得られた。

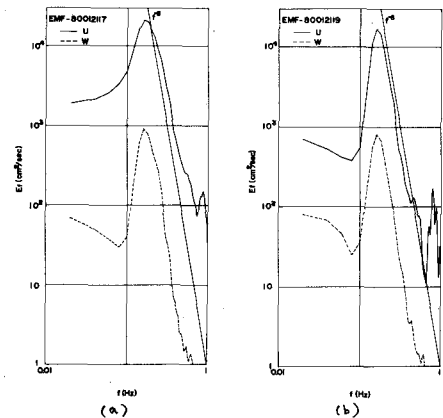


図-4(a), (b) パワースペクトル

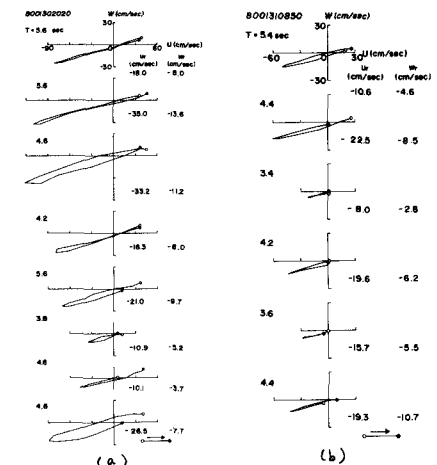


図-5(a), (b) 水粒子の速度変化

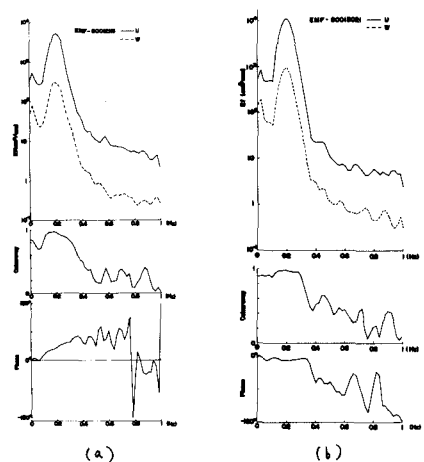


図-6(a), (b) パワースペクトル、coherency および phase  
EMF-8002117 については、こうした結果を得られた。